

## 討5 酸化性ガス上吹きによる溶融ステンレス鋼の真空脱炭速度について

川崎製鉄技術研究所

・中西恭二 大井浩

住田則夫

### 1 緒言

最近溶融ステンレス鋼の真空脱炭が工業化されつつあり、実験室的研究報告<sup>1),2)</sup>もあるが脱炭反応の律速過程の考察などまだ十分とは云えない。著者らはまずガスジェットの溶鋼へおよぼす影響が大気圧から真空に移行するとどのように変化するかの理論的解析とモデル実験を試みた。ついで減圧下で17%Cr鋼浴へ酸化性ガスを上吹きする実験を行ない、真空脱炭反応の律速過程について考察した。

### 2 減圧下におけるガスジェットの挙動

ガスジェットが鋼浴面と衝突した際に生ずる鋼浴面のくぼみ深さと脱炭反応速度との間に密接な関係のあることは、すでによく知られている。そこでこのくぼみ深さと雰囲気圧力との関係を理論的に導出してみる。用いた仮定はつきのようである。(a)ノズル径は一定の平行ノズルである。(b)ノズル内におけるガス流体の圧力損失はノズル内壁によるガス流体の摩擦エネルギー損失と比例する。(c)ノズル内におけるガス流体の平均圧力と平均密度とには理想気体則が成立する。(d)ノズル出口でガス流体は断熱膨張する。(e)ノズル出口を通過した後運動量保存則が適用される。(f)くぼみ点ではベルヌーイ則が成立する。(g)ノズル出口を通過した後のガス流体において、ノズル軸と直角な面内におけるガス流体の最大線速度は、この面内におけるガス流体の平均速度の4倍で与えられる。以上の仮定の下で目的とした理論式を求めれば(1)式が得られる。

$$\pi g \rho_f L (h+L)^2 \tan^2 \theta / 8 = [ (\sqrt{P^2 + (64 f R T \ell Q^2 / \pi^2 g_c^2 M d^5)} + P) / 2 P ]^{1/2} \times [ (\sqrt{P^2 + (64 f R T \ell Q^2 / \pi^2 g_c^2 M d^5)} - P) / (8 f \ell / \pi g_c d^3) ] \quad (1)$$

ここで $g$ は重量加速度( $m sec^{-2}$ )、 $\rho_f$ は液体密度( $Kg m^{-3}$ )、 $\theta$ はノズル出口後のガス広がり角度で噴流の場合 $\tan \theta = 0.214$ とおける、 $L$ は浴のくぼみ深さ( $m$ )、 $h$ はランス高さ( $m$ )、 $Q$ はガス流量( $Kg sec^{-1}$ )、 $f$ はノズル壁での摩擦係数、 $\ell$ はノズル平行部長さ( $m$ )、 $R$ は気体定数、 $T$ は絶対温度、 $g_c$ は重力換算係数( $= 9.8 Kg m sec^{-2} Kg^{-1}$ )、 $P$ は雰囲気圧力( $Kg m^{-2}$ )、 $M$ はガス分子量( $Kg \cdot Kg-mol^{-1}$ )、 $d$ はノズル径( $m$ )および $\tau$ は等温圧縮係数で $O_2$ ガスでは1.4とおける。

(1)式の妥当性を評価するため、ノズル径が1mmで平行部長さが15mmのランスにより1.5N $\ell$ /minの流量で $O_2$ ガスを水面に吹きつけた場合について、モデル実験により得られたくぼみ深さと雰囲気圧力との関係を(1)式による計算値と比較して図1に示す。実測されたくぼみ深さは計算値のそれの約1/2の値になつてゐるが両者の傾向はよく一致している。これよりランス条件とガス流量が同一の場合には、雰囲気圧力が低いほど液面のくぼみ深さは大きくなることが明瞭である。そこで(1)式を用いて今回の脱炭実験のランス条件における鋼浴面のくぼみ深さを計算し図2に示した。この場合も実際の

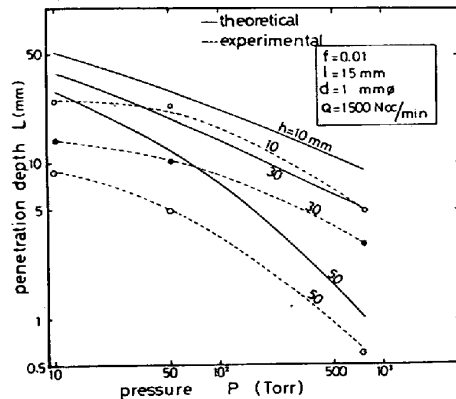


図1 水モデル実験および理論計算によるくぼみ深さの比較

値は計算値の約 $1/2$ と考えられるので、たとえば $10$ および $760$ Torrの圧力について $2\text{N}_2/\text{min}$ の $\text{O}_2$ ガスを吹きつけた時の推定くぼみ深さを比較すれば、それぞれ約 $5$ および $0\text{mm}$ と与えられる。これよりガスジェットと鋼浴との反応は、大気圧より減圧の方が反応界面の物理的条件に関する限り有利である。

### 3 0.1%を越える高炭素濃度領域における脱炭速度

#### 3.1 実験方法

$30\text{kV}\text{A}$ 高周波真空溶解炉内に市販のマグネシヤルつぼ(内径 $145\text{mm}$ )をセットして $\text{Cr}\text{鋼}2.0\text{kg}$ を溶解する。ランスは石英製でノズル部の内径と平行部長さは、それぞれ $2.5$ および $60\text{mm}$ であり、ランス高さは $30\text{mm}$ で一定とした。 $\text{Ar}$ 気流中で溶解した後 $0.3$ から $0.4\%$ Cになるよう加炭し、その後炉内を所定真空中に保持した。脱炭速度におよぼす圧力の影響は $10 \pm 1$ および $50 \pm 3\text{Torr}$ について、温度の影響は $1600, 1700$ 、および $1800^\circ\text{C}$ について、またガス流量の影響は $0.5$ から $6\text{N}_2/\text{min}$ の範囲についてそれぞれしゃべた。実験は主として $17\%\text{Cr}-0.30\%\text{Mn}$ 鋼を対象として行なつた。以下特にことわらない限り $17\%\text{Cr}$ 鋼のデータを示す。

#### 3.2 実験結果および考察

温度と圧力をそれぞれ $1600^\circ\text{C}$ および $10\text{Torr}$ にして、 $\text{O}_2$ 流量を変えた場合の脱炭曲線を図3に示す。これより高炭素領域の脱炭速度はC濃度によらず一定とみなせるので、これらの直線の傾きから脱炭速度を求めることができる。脱炭速度と $\text{O}_2$ 流量の関係を $1600^\circ\text{C}$ について図4に示す。図4の脱炭速度は、 $\text{O}_2$ 吹精を実施しなくともるつぼとの反応で進行する自然脱炭速度( $0.5 \times 10^{-3}\%/\text{min}$ )を、全脱炭速度から一律に除いて得た値であるので $\text{O}_2$ ガスによる正味の脱炭速度を示している。送入 $\text{O}_2$ 量の中で脱炭反応に消費された $\text{O}_2$ 量すなわち $\text{O}_2$ 効率を $\text{O}_2$ 流量に対してみれば $1600^\circ\text{C}$ について図5となる。これより低 $\text{O}_2$ 流量での $\text{O}_2$ 効率はほぼ $100\%$ 近いが、 $\text{O}_2$ 流量の増加とともに減少する。しかしその減少率は $\text{O}_2$ 流量の増加につれて鈍化し一定値におちつくか、あるいはわずかながら増加のきざしさえみせる。

さて、 $\text{O}_2$ 吹精中の鋼浴面をのぞき窓を通して観察すれば $\text{O}_2$ 流量に応じて3種類の酸化膜模様をみるとができる。たとえば $0.40\%$ Cについて約 $0.7\text{N}_2/\text{min}$ では火点を中心とした菊型模様がみられる。この酸化膜は $1.5\text{N}_2/\text{min}$ では島模様となりるつぼ壁に移動しても消滅しない。 $\text{O}_2$ 流量が $3\text{N}_2/\text{min}$ になると島状酸化膜はその面積と厚さを増し、 $\text{O}_2$ ガスはこれをつき破ることができず酸化膜の上に吹きつ

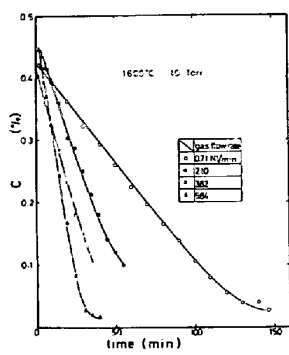


図3 酸素吹精時のC濃度の変化と酸素流量の関係

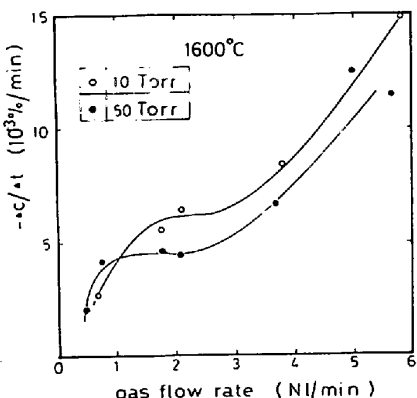


図4 脱炭速度と酸素流量の関係

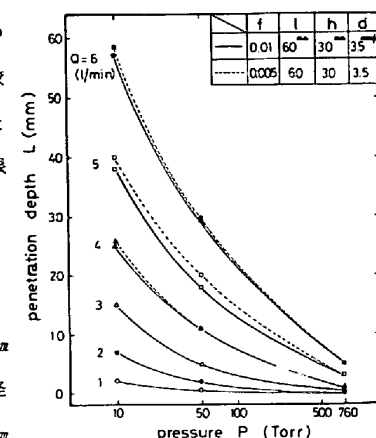


図2 酸素ジェットによる鋼浴のくぼみ深さ

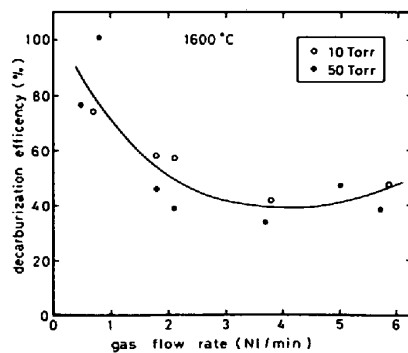


図5 酸素効率と酸素流量の関係

けられる。しかしさらに  $4 \sim 5 \text{ NL/min}$  となると  $\text{O}_2$  ジェットがこの酸化膜をつき破りボイリングが活発となる。これらの現象から高炭素領域の脱炭反応と  $\text{O}_2$  流量の関係はつきのように考えられる。 $\text{O}_2$  流量が少ない間は  $\text{O}_2$  ガスのほとんど全量が反応界面に到達して脱炭反応に寄与する。しかし  $\text{O}_2$  流量を徐々に増すと比較的厚い酸化膜が形成され、 $\text{O}_2$  ガスの一部に対してスクリーンとなる。その結果  $\text{O}_2$  流量をある範囲で増しても脱炭速度は変化せず、 $\text{O}_2$  効率は低下する。しかしさらに  $\text{O}_2$  流量を増して酸化膜をつき破るに十分な運動量の  $\text{O}_2$  ガスを送り込めば、脱炭速度は再び増加し同時に  $\text{O}_2$  効率の減少もとまる。以上の考察は図 5 および 6 の傾向とよく一致する。また図 4 によれば圧力が  $10$  と  $50 \text{ torr}$  では、前者の脱炭速度の方がわずかではあるが大きいが、これは減圧下におけるガスジェットの挙動から容易に理解される。表 1 は Cr 濃度と圧力を変えて  $\text{O}_2$  流量が  $2 \text{ NL/min}$  について実験から求めた脱炭反応の活性化エネルギーを示している。Cr 濃度と圧力の影響は実験誤差にかくれて明瞭でない。これらの値を平均すれば  $7.5 \pm 3.9 \text{ kcal/mol}$  となり  $\text{O}_2$  ガスの供給律速で脱炭反応が進行するものとしてほぼ妥当な値となる。この場合の脱炭速度は近似的に (2) 式で与えられる。

ここで  $K$  は溶鋼自由表面積 ( $\text{cm}^2$ )、 $W$  は溶鋼重量 ( $\text{g}$ )、 $P$  は雰囲気圧力 ( $\text{atm}$ )、 $D$  は  $\text{O}_2 - \text{CO}$  の相互拡散係数 ( $\text{cm}^2 \text{ sec}^{-1}$ )、 $\delta$  はガス側境膜層の厚み ( $\text{cm}$ ) および  $x_{\text{O}_2}$  は  $\text{O}_2$  のモル分率である。(2) 式の左辺に実測値として  $1600 \text{ °C}$  で  $2 \text{ NL/min}$  の  $\text{O}_2$  ガス流量の場合の値として  $-6.0 \times 10^{-3}$  ( $\%/\text{min}$ ) を代入し、気体運動論から所定温度に対して求まる  $D$ などを右辺に代入すれば、本実験における  $\delta$  が求まり、ガス温度が  $473$  および  $1873 \text{ °K}$  について、それぞれ、 $0.9$  および  $2.3 \text{ mm}$  が得られる。一方、Scholtz は wall jet  $K$  対する  $\delta$  として (3) 式を提案している<sup>3)</sup>。ここに、 $Sc$  はシュミット数、 $r$  はジェット軸からの動径距離、 $\nu$  は動粘度および  $F$  はノズル径を  $\text{mm}$ 、ガスの線速度を  $u$  として  $F = u^2 d^3 / 128$  で与えられる。Scholtz の式を用いて実測値から求めた先の  $\delta$  と対応する計算値  $\delta$  を鋼浴面で平均して求めると、ガス温度が  $473$  および  $1873 \text{ °K}$  について、それぞれ  $0.2$  および  $0.4 \text{ mm}$  と与えられる。この値は先の対応する実測値のそれぞれ約  $1/5$  の値であるが、これは先の湯面観察から明らかのように、るっぽ径方向の  $\text{O}_2$  分圧を一定とみなせないこと、あるいは反応界面における  $\text{O}_2$  分圧を無視できないことなどによっているものと考えられる。森らはこのような反応の数学的表現を与えており<sup>4)</sup>、本系にこれを適用すれば物質移動係数  $k_{\text{gav}}$  および吸着解離速度定数  $k_1$  として、それぞれ  $2.2 \times 10^{-3}$   $\text{mol/cm}^2 \text{ sec}$  および  $1.0 \times 10^{-2} \text{ mol/cm}^2 \text{ sec atm}$  を得る。したがつてこれよりガス側境膜厚みを計算すれば  $0.14 \text{ mm}$  となり Scholtz の式から求めた値に近くなる。図 6 には計算結果の一例としてるっぽ径方向の  $\text{O}_2$  モル分率の変化を示した。以上の考察から高炭素領域の脱炭反応の律速段階は、ガス側境膜層にその主体があるが、界面における反応にも若干依存しているものとして矛盾なく説明される。

#### 4. 0.1 % 以下の低炭素濃度領域における脱炭速度

##### 4. 1 実験方法

$\text{O}_2$  ガスのかわりに  $\text{CO} - \text{CO}_2$  混合ガスを用い初期 C 濃度が約  $0.1 \%$  の鋼浴について酸化膜のない条件での脱炭実験を行なつた。その他の実験条件は

表 1 高炭素領域の脱炭反応の活性化エネルギー - (  $\text{kcal/mol}$  )

圧力 (Torr)	8% Cr	13% Cr	17% Cr
10	9.8	12.7	6.2
50	2.1	4.6	9.5

$$-\frac{d[\%C]}{dt} = \frac{2400APD}{WRT\delta} \ln(1+x_{\text{O}_2}) \quad (2)$$

$$\delta = r^{5/4} / 0.532 Sc^{1/3} [F/\nu^3]^{1/4} \quad (3)$$

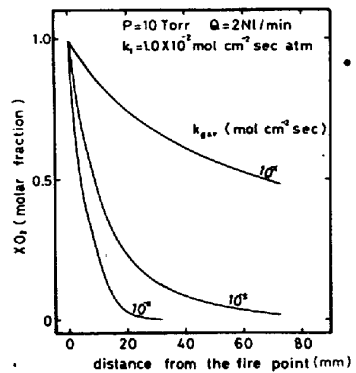


図 6 るっぽ径方向の  $\text{O}_2$  モル分率の変化

高炭素領域の場合と全く同じである。

#### 4.2 実験結果と考察

図7は38%CO<sub>2</sub>ガスによる脱炭曲線を示している。低炭素濃度領域における脱炭も二つの領域にわけられる。すなわち酸化膜のない条件での脱炭と、酸化膜が生成した後の脱炭である。酸化膜が生成した後の脱炭速度が著しく低下することは図7より明らかである。自然脱炭速度も見掛け上C濃度に依存しており一次反応として扱うことができる。図8は自然脱炭速度をC濃度の一次反応として、全脱炭速度からこれを除外し、これらの脱炭速度を求めたC濃度に対して示したものである。図には全脱炭速度をC濃度によらず一定と近似した方が妥当な実験値を‘直線’とまた一次反応とした方が妥当な実験値を‘指数’として区別して示してある。これによれば直線型から指数型への移行は妥当である。すなわちガス流量の少ない場合にはガス境界膜に反応の律速段階があるため脱炭速度は直線型となる。しかしガス流量を増すにつれて脱炭速度は増大すると同時に反応の律速段階は鋼浴側へ移行するため指数型となる。そして指数関数型へ移行して後は、脱炭速度はガス流量に依存しなくなる。このようにガス流量に依存しない指数型脱炭領域において次式を与えられる脱炭速度係数k

$$k = -d[\%C]/dt$$

とガスのCO<sub>2</sub>濃度との関係を実験より求め図9に示した。これより自然脱炭を除いた脱炭速度は鋼中C濃度と気相のCO<sub>2</sub>分圧の積に比例し、したがつて反応律速と結論される。kの活性化エネルギーを実験から求めたところ、CO<sub>2</sub>濃度が10から30%の範囲で圧力が10 Torrの場合について  $32.0 \pm 15.2 \text{ kcal/mol}$  なる値を得た。

以上の結果から低炭素領域における脱炭反応は  $\text{CO}_2 + \text{C} = 2\text{CO}$  の右向き反応が主体となつて進行するものと推定される。すなわち右向きの反応速度定数を  $k_1$  と書けば、1600°C, 10 Torrにおける  $k_1$  は実験より  $5.07 \times 10^{-3} \text{ mol/cm sec atm}$  となり、かつ  $k_1$  の活性化エネルギーが上の値と一値することになる。以上の結論は真の脱炭速度における自然脱炭の影響を容易に除くため上記反応式の左向き反応を無視したので、上記反応式の総括速度定数は、先の  $k_1$  よりいくぶん小さくなるであろう。

#### 5 結論

高炭素領域の脱炭速度はガス側の拡散律速過程と界面反応の律速過程の混合律速として説明され、温度が高いほど、また圧力が低いほど脱炭速度は大となる。また低炭素領域の脱炭速度は、CO-CO<sub>2</sub>混合ガスの流量を十分に増せば反応自体が律速となつて進行する。

#### 参考文献

- (1) F. Oeters and K. Heyer; Archiv für das Eisenhüttenw., 40 (1969), 381.
- (2) 大岡他; 鉄と鋼, 56 (1970), S 48.
- (3) M. T. Scholtz and O. Trass; A I Ch E Journal, 9 (1963) 548.
- (4) 野村, 森; 鉄と鋼, 57 (1971) 30.

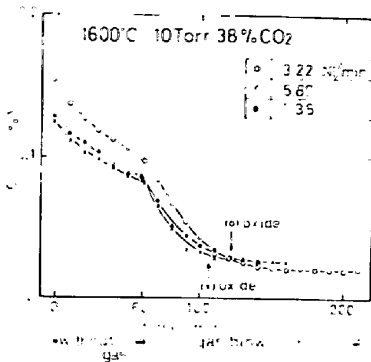


図7 低炭素領域の脱炭曲線

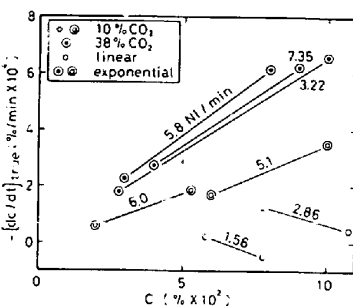


図8 真の脱炭速度とC濃度の関係

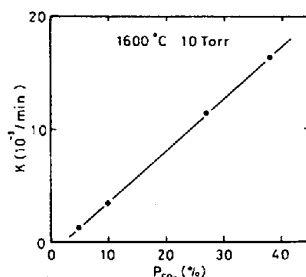


図9 kとCO<sub>2</sub>濃度の関係